

波・流れ共存場における現地泥の巻き上げ特性

清水琢三*・金山進*・沼野祐二*
山田富朗**・植木一浩***

1. まえがき

現地泥やカオリンなどのいわゆる第一底泥グループに属する底泥は、降伏値を有する流動特性を示すため巻き上げ限界が存在し、巻き上げフラックスは底面剪断応力が巻き上げ限界を越えると急激に大きくなる。これまでの巻き上げフラックスは、流れ、波作用下を問わず無次元化した有効剪断応力（底面剪断応力が限界値を越える割合）のべき関数として表され、係数や指数は泥の性質によって異なる実験定数として取り扱われてきた。流れ作用下に対しては、巻き上げ限界掃流力を粘度や降伏値などの底泥の流動特性と結び付ける試み（大坪・村岡、1985）や巻き上げフラックスと底面剪断応力の関係を無次元化して底泥の種類によらない定式化が試みられている（大坪・村岡、1986）。しかしながら、底泥層も波動運動する波作用下や波・流れ共存下に対しては、流れのみが作用する場合と巻き上げ形態が異なるため、巻き上げ限界や巻き上げフラックスの一般的な評価式は現在のところ得られていない。波作用下では流れのみの場合に比べてかなり小さい底面剪断応力で巻き上げが生じることが知られており、このことは底面剪断応力が巻き上げを発生させる直接的な起因力とはならないことを示唆している（例えば鶴谷ら、1990）。

そこで本研究では、現地泥を用いて波作用下ならびに波・流れ共存下での巻き上げ実験を行うとともに、既往の波作用下での実験結果を再整理し、底泥の波動運動を考慮した底泥の種類によらない一般的な巻き上げ限界条件について検討した。さらには、巻き上げフラックスと外力の関係についても、底泥の波動運動と波作用下での巻き上げ形態を考慮したモデル化を試みた。

2. 巒き上げ実験の概要

2.1 実験方法と実験条件

実験には、図-1に示す長さ50m、幅0.6mの還流装置付き造波水路を用い、水路の下流側に長さ2ないし

2.5m、高さ5cmの泥床部を設けて、所定の含水比に調整した試料を均一に敷き詰めた。実験ケースと実験条件を表-1に示す。実験には、東京電力㈱福島第二原子力発電所専用港湾内で採取した粒度組成の異なる2種類の現地底泥（中央粒径31と18μm、以下福島泥と呼ぶ）を用いた。含水比を調整して3種類の底泥試料を作成し、波高と流速を変えて合計14ケースの実験を行った。周期は1.5秒である。また、ケースA-1, 3, 5, B-1, 3, 5の6ケースについては、巻き上げフラックスを求める実験に先立ち、試料設置後徐々に波高を増加させ、目視により巻き上げ限界を確認する実験を行った。

含水比は現地で表面付近が150～200%程度で、表層10cmの平均が140%程度、それ以深が100%以下であったことから（清水ら、1990）、Aシリーズは140%，Bシリーズは180%を目標値に設定した。また、Cシリーズは粒度が異なるもののAシリーズと強度が同じになるよう、スランプ試験の結果に基づき目標含水比を170%に設定した。実験時の底泥強度を確認するため、試料調整直後に高さ74mmの円錐台状の鉄製フローローン（JIS A 1109）を用いて比スランプ値を求めた。また、試料設置時と実験終了時に泥床部5カ所で含水比測定を行った。

実験期間中の巻き上げ濃度は、泥床部の中央と両端内側の3カ所において、ある時間間隔毎に鉛直7深度（底面上0.5, 1, 2, 5, 10, 15, 20cm）でサイフォンによる採水を行ってSS濃度を測定した。また、同一地点で濁度計による鉛直3深度（底面上2, 5, 15cm）の連続観測を行い、濃度の時間変化を補間した。

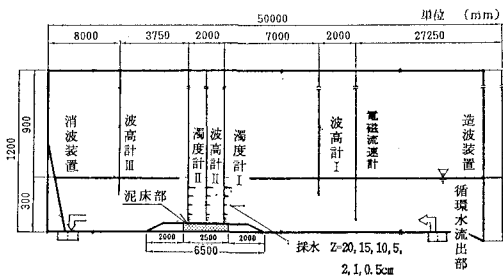


図-1 実験装置の概要

* 正会員 工修 五洋建設(株)土木設計部

** 正会員 東電設計(株)原子力土木部

*** 正会員 工修 東京電力(株)原子力建設部

表-1 実験ケース一覧

ケース	中央粒径 (μm)	含水比 (%)	比スランプ値	降伏値 (Pa)	波高 (cm)	流速 (cm/s)	E^*
A-1	31	140.1	0.705	4.42	4.3	0.0	0.49
A-2	31	134.8	0.766	3.24	5.8	0.0	9.41
A-3	31	136.5	0.703	4.48	4.7	9.5	0.38
A-4	31	140.3	0.734	3.83	5.9	12.7	5.20
A-5	31	139.6	0.734	3.83	3.2	25.7	0.41
A-6	31	139.6	0.754	3.45	4.7	23.5	3.55
B-1	31	179.3	0.895	1.07	2.6	0.0	0.12
B-2	31	181.0	0.896	1.06	4.0	0.0	1.43
B-3	31	175.8	0.890	1.14	2.2	7.4	0.12
B-4	31	181.0	0.896	1.06	4.1	13.3	0.95
B-5	31	176.8	0.891	1.13	2.0	20.9	0.61
B-6	31	177.6	0.892	1.12	4.1	24.4	2.46
C-1	18	172.3	0.770	4.03	4.2	10.7	1.10
C-2	18	175.7	0.716	3.02	7.6	9.1	65.5
C-3	18	177.8	0.743	3.50	2.8	22.8	0.22
C-4	18	181.4	0.743	3.49	6.3	22.7	105.0

*) E は巻き上げフラックス ($\times 10^{-4} \text{kg/m}^2/\text{s}$) を表す。

2.2 現地泥の強度

A, B シリーズの実験に用いた福島泥の強度を明らかにするため、含水比 4 レベル (107, 129, 177, 407%) に対して回転粘度計による流动試験を実施した。波作用下での巻き上げが、泥層が波動運動を生じた後に生じていることから、降伏値としては、鶴谷ら (1989) と同様、2 回目以降のサイクルで得られる乱された状態での値 τ_{y2} を用いるのが妥当であると判断した。ただし、本試験では 1 回目のサイクルの τ_{y1} しか得られていないので、鶴谷ら (1989) の試験結果を参考に $\tau_{y2} = \tau_{y1}/2$ とした。降伏値は、 $\tau_y(\text{Pa}) = \tau_{y1} = 1.35 \times 10^{10} w^{-4.5}$ で含水比 $w(\%)$ と関連付けられる。

一方、底泥の強度を簡便に測定する方法としてスランプ試験があり、比スランプ値と降伏値の関係式が理論的に導かれている (鶴谷ら, 1989)。円錐台状のコーンにも適用できるよう拡張すると次式が得られる。

$$\exp(-x) = (\beta a/y + 1)^{y/a}/2.72 \quad \dots \dots \dots (1)$$

ここに、 $x = S/H$, $y = \tau_y/\rho g H$, $a = (1-k)/2$, $\beta = [1 + (b_0/a_0) + (b_0/a_0)^2]/3$ であり、 S : スランプ値, H : コーン高さ, ρ : 底泥の密度, g : 重力加速度, k : 定数, b_0 , a_0 : 下面と上面の直径である。本実験のコーン形状に対しては $\beta = 2.89$ であり、 $\beta = 1$ のとき鶴谷らの式に一致する。鶴谷ら (1989) によれば、 k は 0.9~0.95 であるが、福島泥に対しては $k = 0.89$ が適合した。

2.3 巒き上げ形態

流れの有無にかかわらず実験中にみられた一般的な底

泥の巻き上げ形態について述べる。巻き上げに先立ち必ず底泥の波動運動が観察された。巻き上げは、強度の最も弱いと思われる所で水路横断方向に亀裂が生じた後発生し、時間と共に幾筋もの亀裂が泥床部全体に広がった。実験後の泥床表面には、2~3 mm 間隔で無数のひび割れの痕跡がみられた。このように波作用下での巻き上げがひび割れの発生・成長に伴って進行することは、既往の実験でもすでに報告されている (例えば楠田ら, 1988)。

2.4 巒き上げフラックス

初期の巻き上げフラックスは、基本的には水路内の平均濃度の上昇率により算定した。各ケースの結果は表-1 に示されている。既往の研究と同様、式 (2) で表される巻き上げフラックス E と泥層の波動運動を考えない固定床底面剪断応力 τ_f の関係をべき乗回帰により求めた。その結果は既往の実験の再整理結果とともに表-2 に示されている。なお、波・流れ共存場の固定床の底面剪断応力の評価には、田中・首藤 (1980) の評価式を用いた。流速の有無により若干ばらつきはみられたものの、底泥の強度が同じであれば概ね式 (2) で評価できることを確認した。

$$E = \alpha_1 (\tau_f / \tau_{fc} - 1)^{n_1} \quad (\text{kg/m}^2/\text{s}) \quad \dots \dots \dots (2)$$

ここに、 τ_{fc} : 巒き上げ限界剪断応力, n_1 : 指数, α_1 : 定数である。

3. 底泥の波動運動モデル

3.1 モデルの概要

底泥の波動運動モデルとしては、相当粘度の概念を導入してビンガム流体としての取り扱いを可能にした中野ら (1987) の粘性流体多層モデルを基本とした。波・流れ共存場への拡張は中野ら (1989) により既に行われているが、水層を完全流体と仮定しているため水と底泥との境界面に働く接線応力が無視されている。そこで、本研究では、水と底泥の相対運動を考慮した上で田中・首藤の摩擦則を適用し、泥層表面に働く剪断応力を評価した。ただし、波動運動により周期的に変動する剪断応力のみが泥層内に影響すると仮定している。このような改良を加えることにより固定床の場合も含めて統一的に底面剪断応力を評価できる。

3.2 泥層内部応力の算定

波動運動時の泥層内の最大応力 τ_s は次式で表される。

$$\tau_s = \sqrt{(\sigma_x - \sigma_z)^2/4 + \tau_{xz}^2} = \sqrt{\mu_{eq} \cdot \varepsilon} \quad \dots \dots \dots (3)$$

ここに、 $\mu_{eq} = \mu + \tau_y/\sqrt{4\pi\varepsilon}$, $\varepsilon = 4\pi\varepsilon_e$ であり、 σ_x , σ_z : 直応力, τ_{xz} : 剪断応力, μ_{eq} : 相当粘度, μ : 粘性係数, τ_y : 降伏値, ε_e : 変形速度テソルの不变量, ε : エネルギー逸散率である。

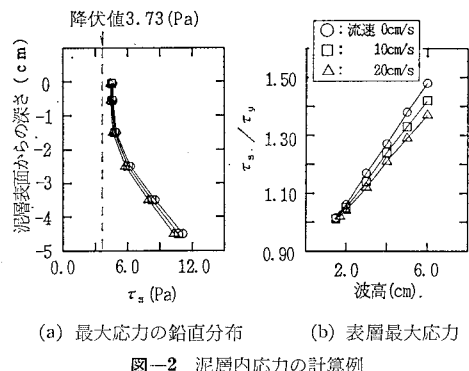
A, C シリーズの実験条件を対象に、底泥層を 6 分割

し、表層から第1、2層をそれぞれ 0.1, 0.9 cm、第3層以深を 1.0 cm に分割して、種々のモデル計算を行った。図-2(a)は泥層内最大応力の鉛直分布の計算例を示したものであり、泥層の底面で最大となることがわかる。また、図-2(b)は、波高の増大に伴う泥層表面での最大応力と降伏値の比 τ_s/τ_y の変化を計算した例である。泥層表面で τ_s/τ_y が 1 となると、泥層全体で降伏値を越えるため、これを「全層波動運動限界」と定義することができる。相当粘度を用いた粘性流体モデルは、泥層の波動運動を前提としているため、 τ_s/τ_y が 1 以下の条件に対しては計算不能で、直接、波動運動限界を求めることはできない。しかし、図-2(b)に示すように、1 を越えると波高の増大と共に概ね単調に増加する傾向がみられるので、 τ_s/τ_y が 1 となる波動限界波高を外挿して推定することが可能である。また、順流条件では波長が長くなるため速度勾配が小さくなり、泥層の最大応力は波のみの場合に比べて小さくなる傾向がみられる。

4. 巣き上げ限界の検討

4.1 既往の巣き上げ実験結果の再整理

波作用下での巣き上げは、泥層表面でのひびがれの発生を契機として生じたことから、巣き上げ限界に割しては泥層表面での接線方向の剪断応力ではなく、式(3)で表される最大応力が直接の起因力になると見て、既往の実験データの再整理を行った。既往の波による巣き上げ実験データとしては、楠田ら(1988)、鶴谷ら(1990)ならびに三村ら(1990)の実験結果を用いた。各実験の



(a) 最大応力の鉛直分布 (b) 表層最大応力

図-2 泥層内応力の計算例

実験条件を再整理した結果をまとめて表-2に示す。

再整理に当たっては、まず、各実験とも底面剪断応力の評価法が異なるため、田中・首藤の摩擦則を用いて固定床底面剪断応力 τ_f を再評価し、巣き上げフックス E との関係を式(2)でべき乗回帰し、相関係数が最も高くなる場合の巣き上げ限界剪断応力 τ_{fc} を求めた。次に、巣き上げ限界時の波高を実験毎に求め、粘性流体多層モデルにより波動運動を考慮した底面剪断応力の限界値 τ_m 、と泥層表面での最大応力の限界値 τ_{sc} を評価した。なお、楠田ら(1988)と三村ら(1990)は周期の異なる条件でも実験を行っているが、底泥の波動運動には周期の影響が大きいと考えられるため、表-2に示す周期以外のデータはべき乗回帰の対象から外した。また、降伏値はスランプ試験が行われているものについては式(1)の関係式を、また、粘性係数は全ケースとも大坪・

表-2 既往の巣き上げ実験結果の再整理

	泥の種類	使用データ数	含水比 (%)	比スランプ値 S/H	降伏値 τ_y (Pa)	泥層厚 (cm)	水深 (cm)	周期 (s)	巣き上げ限界条件					巣き上げフックス E ($\times 10^{-4} \text{kg/m}^2/\text{s}$)	備考		
									波高 (cm)	τ_{fc} (Pa)	τ_m (Pa)	τ_{sc} (Pa)	τ_{sc}/τ_y				
										$\alpha (\times 10^{-4})$	n						
本研究	福島泥	6	139		0.737	3.73	5	25	1.5	3.68	0.20	0.18	4.62	1.24	9.34	2.03	31 μm
		4	177													18 μm	
(1990)	福島泥	6	179	0.893	1.10	5	25	1.5	2.21	0.12	0.05	1.40	1.27	1.02	1.24		
		3	127	0.617	6.36	10	20	0.9	1.70	0.11	0.10	7.81	1.23	2.83	1.04		
楠田ら (1988)	カオリン	3	160	0.655	5.28	10	20	1.3	2.00	0.13	0.10	7.03	1.33	2.53	2.45		
		5	98	0.650	10.2	5	26.7	1.1	6.84	0.36	0.35	12.4	1.22	6.04	1.11		
鶴谷ら (1990)	カオリン	4	154	—	9.06	9	30	1.2	2.86	0.13	0.13	9.86	1.09	1.67	2.04	実験38	
	カオリン	3	193	—	3.89	9	30	1.2	3.63	0.17	0.10	5.69	1.46	1.03	0.43	29	
	カオリン	8	218	—	2.47	9	30	1.2	1.73	0.08	0.05	3.00	1.22	0.15	1.57	25, 30	
	カオリン	4	227	—	2.13	9	30	1.2	1.77	0.08	0.04	2.62	1.23	0.12	2.36	31	
	カオリン	12	247	—	1.53	9	30	1.2	1.71	0.08	0.03	1.87	1.23	0.13	2.14	27, 32	
	カオリン	3	286	—	0.88	9	30	1.2	2.77	0.13	0.03	1.19	1.35	0.40	1.22	28	
	カオリン	3	328	—	0.53	9	30	1.2	2.13	0.10	0.02	0.67	1.26	0.27	1.07	33	

ただし、巣き上げフックス欄には、固定床剪断応力 τ_f を用いた場合の回帰式: $E = \alpha_1 (\tau_f/\tau_c - 1)^{\alpha_2}$ の係数と指数を示す。

村岡(1985)による降伏値との関係式を用いて評価した。

4.2 卷き上げ限界の統一表示

卷き上げ限界時の泥層表面での最大応力 τ_{sc} と降伏値 τ_y の関係を 図-3 に示す。 τ_{sc}/τ_y は、全ケース単純平均で 1.25、標準偏差 0.08 でほぼ一定であり、底泥の強度によらず卷き上げ限界条件は、次式で評価できるもとと考えられる。

$$\tau_{sc}/\tau_y = 1.25 \quad (\text{卷き上げ限界条件}) \quad \dots \dots \dots (4)$$

また、本研究の実験での目視観察によれば、 τ_s/τ_y が 1.2 足らずとやや小さい応力レベルでひび割れの発生が確認されたが、この目視観察によるひび割れ発生限界は、卷き上げ量そのものは極めて少なく、無視し得る程度であると判断される。

4.3 現地条件下での巻き上げ限界

熊本泥と福島泥を対象に現地条件下での巻き上げ発生条件について検討した。図-4 には縦軸に波高、横軸に周期をとって、 τ_s/τ_y が 1.0 (波動限界), 1.1, 1.25 (巻き上げ限界) となる条件が示されている。また、図中には 0.1 mm の砂を対象に、移動限界条件 (シールズ数 $\psi=0.11$)、浮遊移動条件 ($\psi=0.2$)、シートフロー条件 ($\psi=0.5$) も併せて示されている。浮遊条件とシートフロー条件は清水ら(1990)を参考に便宜的に設定した。なお、底泥強度としては、熊本泥に対しては中野ら(1987)の結果に基づき含水比 200% 相当の降伏値 4.6 (Pa) を、福島泥に対しては含水比 140% 相当の降伏値 3.7 (Pa) を対象とした。また、水深はそれぞれ 4.5 m, 7.5 m で一定とし、波高・周期は地点特性を考慮して実際に起こり得る範囲で条件設定した。

いずれの地点も、底泥の波動運動はかなり小さい外力条件でも生じるが、巻き上げは容易には発生しないことがわかる。また、周期の影響が大きく、短周期のときは圧力が泥層に伝播せず波動運動も生じにくくなり、また逆に周期が長くなると圧力勾配が小さくなつて最大応力が小さくなり、巻き上げにくくなる傾向がみられる。

熊本地点の現地観測結果によれば、昭和62年8月31日に有義波高 1.5 m、周期 4 秒程度の高波浪が来襲し、波高がおよそ 1 m を越えたときに急激に底泥の巻き上げによる SS 濃度の増加が観測されている(鶴谷,

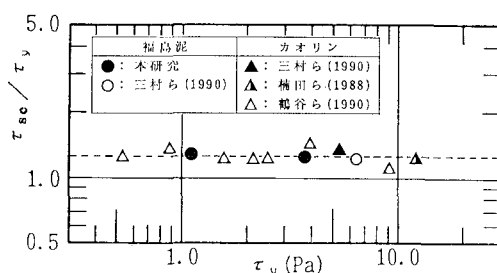
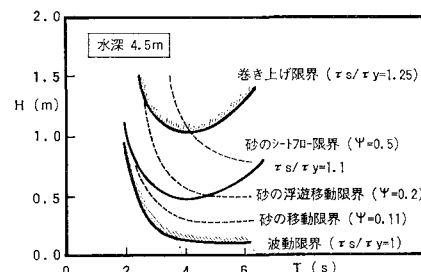
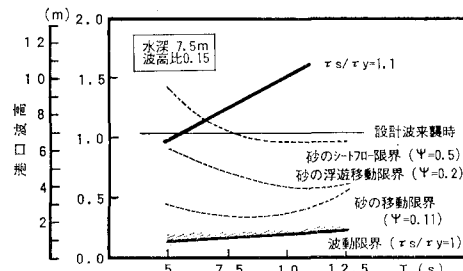


図-3 卷き上げ限界の統一表示



(a) 熊本泥 ($\tau_y = 4.6$ Pa)



(b) 福島泥 ($\tau_y = 3.73$ Pa)

図-4 現地条件下での巻き上げ特性

1989)。図-4 (a) によれば周期 4 秒のとき波高 1 m 程度で巻き上げ限界となっており、現地観測結果とほぼ一致する。したがって、現地条件に対しても式 (4) が適用できるものと判断される。

一方、福島地点は水深が深く、しかも周期が長いため、港内奥のシルト堆積域では波動運動は生じるもの、設計波級の高波浪が来襲しても泥層表面のひび割れによる巻き上げは生じないことがわかる。しかしながら、3 m 以上の高波浪が来襲した場合には、細砂は移動限界を越えており、砂とシルトの共存域では、静穏時に堆積したシルトが細砂の移動、特に浮遊移動に伴い巻き上げられる可能性がある。砂・シルト共存域での巻き上げについては、別途詳細な検討が必要である。

5. 巷き上げフラックスの評価

底泥の波動運動とひび割れの発生に特徴づけられる巻き上げ形態を考慮した巻き上げフラックス評価式の一例として次式を提案する。

$$E = \alpha_2(\tau_s/\tau_y - c)(\tau_m/\tau_y)^{n_2} \quad \dots \dots \dots (5)$$

ここに、 c : 卷き上げ限界時の τ_{sc}/τ_y で平均的に 1.25, τ_m : 波動運動を考慮した底面剪断応力と巻き上げ限界剪断応力、 α_2 , n_2 は定数である。右辺第1項の $(\tau_s/\tau_y - c)$ は、底泥の巻き上げが泥層表面のひび割れに伴い発生することを考慮した項で、底泥の内部応力がどれだけ巻き上げ限界を越えているか、すなわちどれだけ破壊が進んでいるかを表しており、この項が巻き上げ可能量を直接規定するものと考えた。さらに、このように一旦巻き上

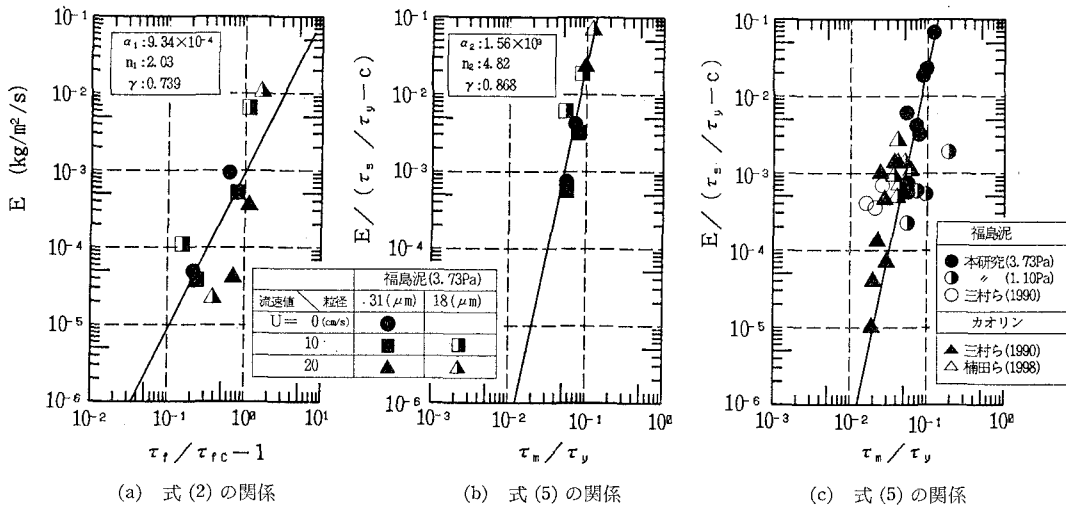


図-5 無次元剪断応力と巻き上げフラックスの関係

限界を越げて表層の破壊が進み、移動状態になった泥を水層に巻き上げる働きをするのは、そのとき泥面に作用する底面剪断応力そのものであると考えてモデル化した。

主としてA, Cシリーズの実験結果（福島泥の降伏値3.73 Pa）を対象に、式（2）および式（5）の適合性を検討した。その結果を、図-5(a), (b)に示す。固定床剪断応力を用いた式（2）では、ばらつきが大きいが、式（5）を用いた場合には流速の有無を問わずデータのまとまりがよくなつた。さらに、底泥の強度、周期等の外力の異なる楠田ら（1988）と三村ら（1990）の実験結果も合わせて式（5）で評価した結果を図-5(c)に示す。波動運動を考慮した底面剪断応力 τ_m を降伏値 τ_y で無次元化したことによって、底泥の種類によらずデータが概ねまとまっている。しかしながら、巻き上げフラックスそのものの無次元化を行っていないため、底泥の強度毎に整理した場合に比べるとばらつきが大きい。

6. あとがき

本研究では、粘性流体多層モデルを用いて底泥の波動運動による泥層表面での応力状態を評価することにより、底泥の種類によらない一般的な巻き上げ限界評価法を提案した。さらに、波作用下での巻き上げのメカニズムを考慮した巻き上げフラックス評価式についても検討した。今後さらに底泥の種類、外力条件を変えた実験データと底泥層の波動運動や巻き上げに関しての現地データを蓄積する必要がある。

最後に、本研究を進めるに当たり、数多くの貴重な御意見を賜わるとともに終始温かくご指導戴いた堀川清司東京大学名誉教授、渡辺晃東京大学教授、三村信男茨城大学助教授ならびに磯部雅彦東京大学助教授をはじめ

とする「発電所専用港湾内堆積防止工に関する研究」検討会（主査：鹿島遼一電力中央研究所主席専門役）の委員の方々に深甚なる謝意を表します。また、既往の実験結果の再整理に際して貴重な実験データを快くお教え戴いた楠田哲也九州大学教授ならびに鶴谷広一運輸省港湾技術研究所海洋水理部水理研究室長のご好意に心より感謝致します。さらには、本研究を進めるに当たり常に熱心に議論して戴いた電力中央研究所榎山勉氏に感謝の意を表します。

参考文献

- 大坪国順・村岡浩爾（1985）：底泥の物性および限界掃流力に関する実験的研究、土木学会論文集、第363号/II-4, pp. 225-234.
- 大坪国順・村岡浩爾（1986）：流れによる底泥の飛び出し率、土木学会論文集、第375号/II-6, pp. 43-45.
- 楠田哲也・山西博幸・川添正寿・二渡了（1988）：波による底泥の浮遊及び拳動に関する研究、第35回海岸工学講演会論文集、pp. 352-356.
- 清水琢三・坂野雅人・金山進・阪内茂記・植木一浩・榎山勉（1990）：取水港湾におけるシルテーションに関する現地調査、海岸工学論文集、第37卷、pp. 424-428.
- 清水琢三・近藤浩右・渡辺晃（1990）：局所漂砂量算定式の現地適用性に関する研究、海岸工学論文集、第37卷、pp. 274-278.
- 田中仁・首藤伸夫（1980）：波・流れ共存時の底面摩擦に関する実験、第27回海岸工学講演会論文集、pp. 163-167.
- 鶴谷広一（1989）：シルテーションによる港湾埋没の予測手法、平成元年度港湾技術研究所講演会論文集、pp. 101-153.
- 鶴谷広一・江口秀二・鷹濱潤（1989）：ペーン試験とスランプ試験による軟らかい粘土の流动限界の検討一回転粘度計との比較、港湾技研資料、No. 655, 21 p.
- 鶴谷広一・江口秀二・佐々木豊喜（1990）：流れおよび波による底泥の巻き上げ限界、港湾技研資料、No. 674, 13 p.
- 中野晋・鶴谷広一・鷹濱潤（1987）：波と底泥の相互干渉による波高減衰と底泥の流动について、港研報告、第26卷、第2号、pp. 171-212.
- 中野晋・伊東信吉・藤平依彦（1989）：流れの中での波と底泥の相互干渉、海岸工学論文集、第36卷、pp. 339-343.
- 三村信男・田口智・加藤始（1990）：底泥の波に対する応答と巻き上げ・沈降フラックス、海岸工学論文集、第37卷、pp. 230-234.